

Рис. 3. Зависимость номинальной (а) и поглощенной (б) энергии удара от толщины образцов.  
1 —  $Zr + Ba(NO_3)_2$ ; 2 —  $Mg + Ba(NO_3)_2$ .

но и при низкоскоростном движении смеси от нескольких метров до 100 м/с и более. Воспламенение смеси  $Mg + Ba(NO_3)_2$  наступает через 60—200 мкс от начала высокоскоростного движения слоя или даже после его окончания. Смесь же  $Zr + Ba(NO_3)_2$  инициируется не только при высокоскоростном радиальном движении слоя с заметно меньшим временем задержки от его начала, движении ( $\sim 10$  м/с). Если наряду с номинальной энергией удара использовать в качестве критерия оценки чувствительности энергию, поглощенную образцом  $E_{погл}$  (рис. 3), то во всем диапазоне толщин ( $d = 10$  мм) для обеих смесей  $E_{погл}$  удовлетворительно коррелирует с номинальной энергией удара. Причем у смесей на основе магния  $E_{погл}$  больше, а область толщин с минимальной энергией инициирования уже, чем у составов на основе циркония. Для последнего минимум энергии должен проявиться при еще большей толщине слоя, что также указывает на большую чувствительность смеси  $Zr + Ba(NO_3)_2$ . Об этом же свидетельствуют и результаты регистрации распространения процесса горения исследованных смесей из зоны воздействия. Они показывают, что для смеси  $Zr + Ba(NO_3)_2$  характерно в большинстве случаев испытаний распространение горения на окружающее вещество. Смесь же  $Mg + Ba(NO_3)_2$  чаще всего инициируется только под бойком без распространения горения на окружающее вещество.

#### ЛИТЕРАТУРА

- ГОСТ 4545-80. Вещества взрывчатые. Методы определения чувствительности к удару.—М.: Госстандарт, 1981.
- Муратов С. М., Бажанов С. П., Гидаспова Е. Х. и др. ФГВ, 1985, 21, 4, 123.
- Муратов С. М., Цыганков В. С., Постнов С. И. и др.—В кн.: Первый Всесоюз. симп. по макрокинетике и хим. газодинамике. Т. II.—Черноголовка, 1984.
- Афанасьев Г. Т., Боболев В. К. Инициирование твердых взрывчатых веществ ударом.—М.: Наука, 1968.
- Афанасьев Г. Т., Боболев В. К., Карабанов Ю. Ф. и др. ФГВ, 1975, 11, 3, 467.
- Дубовик А. В., Лисанов М. В.—В кн.: Матер. VIII Всесоюз. симп. по горению и взрыву. Дetonация и ударные волны.—Черноголовка, 1986.
- Кондриков Б. И., Чубаров В. Д.—В кн.: Вопросы теории взрывчатых веществ.—М., 1974.

Поступила в редакцию 11/XI 1986,  
после доработки — 20/II 1987

#### ПЕРЕМЕЩЕНИЕ УДАРНИКА В МЕТАЛЛЕ

С. К. Андилевко, Е. Н. Сай, Г. С. Романов,  
С. М. Ушеренко  
(Минск)

Форма кратера, возникающего при соударении, зависит от материала ударника и преграды, скорости, угла соударения и т. д. [1]. В рамках принятых представлений о кратерообразовании [2] наибольшая деформация материала преграды наблюдается на этапе расширения. Конечный диаметр кратера, как правило, больше диаметра ударника. Кратеры, геометрия которых отличается от описанной выше, принято счи-

Рис. 1. Схема взрывного ускорителя.

1 — детонатор; 2 — заряд ВВ; 3 — металлическая облицовка; 4 — порошок.

тать аномальными [3]. Рассмотрению некоторых необычных результатов, полученных при внедрении ударников в преграду, посвящена настоящая работа.

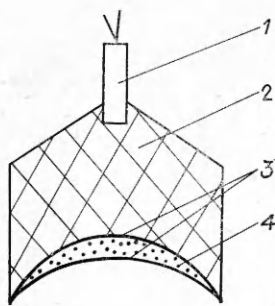
Разгон частиц порошка выполнялся на взрывном ускорителе (рис. 1). После обработки преграду, изготовленную из среднеуглеродистой Ст. 45, разрезали, готовили макрошлиф и травили раствором азотной кислоты (рис. 2). В темной области (рис. 2, б) видна крупнозернистая структура, обладающая пониженной стойкостью к травлению.

Интересной особенностью локальных зон является различная реакция на нагрев. На рис. 3 представлена структура светлой (а) и темной зон (б) (после нагрева обработанной заготовки при температуре 800 °С в течение часа). Нагрев темной зоны приводит к возникновению в ней «прерывистых» границ между зернами. Можно полагать, что возникшие зоны соответствуют областям различного давления в преграде. В таком случае в темной зоне наблюдается перестройка структуры стали под действием высокого динамического давления. Локализацию давления и соответственно перестройку структуры подтверждает наличие резкой границы перехода между различными зонами.

В качестве рабочего вещества в ускорителе использовался порошок оксида алюминия. Частицы оксида обнаружены при помощи микрозондового анализа в объеме обработанной стали вплоть до глубины 40 мм. Структура включений показана на рис. 4. Перекрестие указывает на область объекта, анализируемого на элементы при помощи микрозонда. Анализ внедренных в сталь микрочастиц показал следующие отклонения от традиционного кратерообразования: отношение глубины проникновения к размеру исходной частицы порошка во всех случаях более 40; происходит практически полное закрытие кратера при внедрении ударника. Согласно излагаемым в работах [3—5] представлениям, это возможно только в рамках аномального механизма кратерообразования, которому соответствует специфический характер перераспределения энергии удара.

Материал рабочего вещества | Координаты за-  
свеченной обла-  
сти, мм

	A	B	C
Диборид титана	10 6	11 6	26 7
Нитрид кремния	27 10	10 7	19 33



оксида алюминия. Частицы оксида обнаружены при помощи микрозондового анализа в объеме обработанной стали вплоть до глубины 40 мм. Структура включений показана на рис. 4. Перекрестие указывает на область объекта, анализируемого на элементы при помощи микрозонда. Анализ внедренных в сталь микрочастиц показал следующие отклонения от традиционного кратерообразования: отношение глубины проникновения к размеру исходной частицы порошка во всех случаях более 40; происходит практически полное закрытие кратера при внедрении ударника. Согласно излагаемым в работах [3—5] представлениям, это возможно только в рамках аномального механизма кратерообразования, которому соответствует специфический характер перераспределения энергии удара.

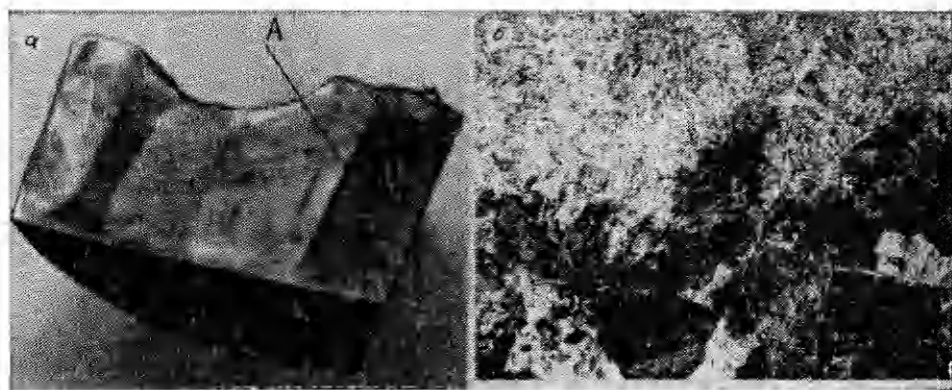


Рис. 2. Макрошлиф обработанной Ст.45 (а) и граница между светлой и темной зонами (точка А).  $\times 200$ .

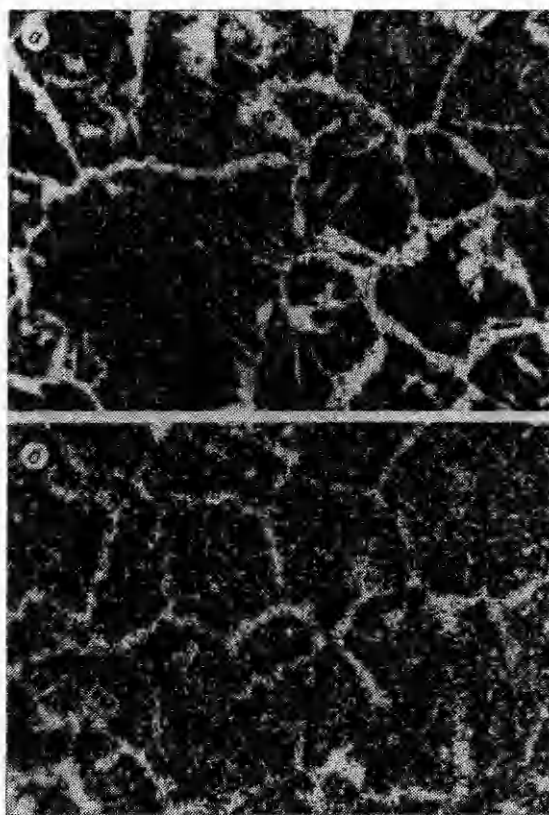


Рис. 3. Структура отожженного образца обработанной Ст.45.  $\times 200$ .

Косвенно это, очевидно, можно подтвердить при помощи экспериментов, схема которых приведена на рис. 5. Расстояние между поверхностью контейнера и пленкой-датчиком составляло  $\sim 25$  мм. В качестве материала стержня использовалась Ст. 3. В зависимости от используемого рабочего вещества экспериментально получены координаты регистрируемой засвеченои зоны (рис. 6), приведенные в таблице. Жесткое излучение регистрируется только при наличии «сверхглубокого» проникновения рабочего вещества в объем металлического стержня. Экспе-

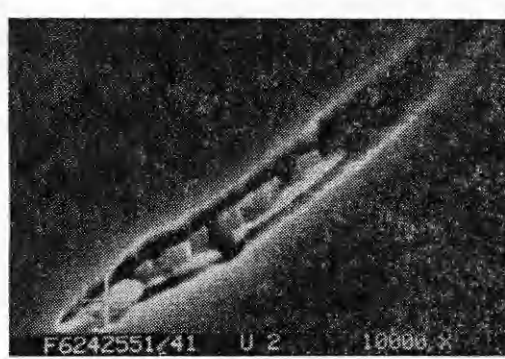


Рис. 4. Структура внедренного материала в Ст.45.  $\times 10\,000$ .

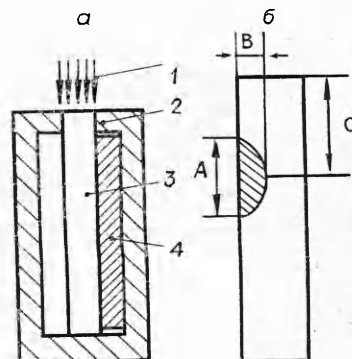
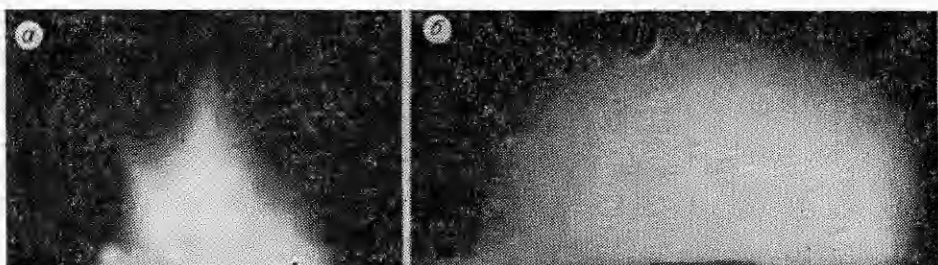


Рис. 5. Схема регистрации перемещения ударника в металле (а) и схематическое изображение регистрируемой зоны (б).

1 — поток частиц порошка; 2 — металлический контейнер; 3 — металлический стержень; 4 — пленка-датчик; А, В, С — координаты засвеченои области.



*Рис. 6. Вид засвеченной области. Рабочее вещество — диборид титана (а) и нитрид кремния (б).*

рименты с ударом металлической пластины или крупными частицами по схеме, изображенной на рис. 5, а, не позволили зарегистрировать излучение.

Анализ изложенных экспериментальных результатов позволяет доказать принципиальную возможность регистрации «сверхглубокого» проникновения частиц порошка в объем стали и рассмотреть наличие попутных эффектов взаимодействия потока частиц порошка со сталью. Процесс аномального проникновения происходит при перераспределении энергии удара и существенно отличается от аналогичного соударения крупных тел.

#### ЛИТЕРАТУРА

1. Базилевский А. Т., Иванов Б. А.— В кн.: Механика образования воронок при ударе и взрыве/Под ред. В. А. Николаевского.— М.: Мир, 1977.
2. Златин И. А., Красильников А. П., Мишин Г. И. и др. Баллистические установки и их применение в экспериментальных исследованиях.— М.: Наука, 1974.
3. Генион Р. Е., Лапло Т. С., Лей К. Е. и др. РТК, 1965, 3, 11, 148.
4. Понд Р., Гласс К.— В кн.: Высокоскоростные ударные явления/Под ред. В. А. Николаевского.— М.: Мир, 1973.
5. Горобцов В. Г., Ушеренко С. М., Фуре В. Я.— В кн.: Порошковая металлургия. Вып. 3.— Минск: Вышэйш. шк., 1979.

*Поступила в редакцию 23/VI 1986*

## О ПЕРЕДАЧЕ ДАВЛЕНИЯ В ПОРИСТЫЕ СРЕДЫ ПРИ ВЗРЫВНОМ НАГРУЖЕНИИ

*A. A. Штерцер  
(Новосибирск)*

Существует большое число схем взрывного нагружения материалов, но наибольшее распространение получила, по-видимому, схема, представленная на рис. 1, а. Видно, что фронт детонации взрывчатого вещества (ВВ) ориентирован перпендикулярно к границе раздела ВВ — нагружающий материал. Такая ситуация реализуется, когда в контакте с материалом помещают слой ВВ, состав которого одинаков по всему объему, а инициирование производят в какой-то произвольной точке заряда. На практике такое нагружение применяют при метании пластин в сварке взрывом, упрочнении взрывом, динамическом компактировании пористых тел и т. д. Действие продуктов детонации (ПД) на вещество при таком нагружении, по-видимому, можно считать достаточно изученным с тем, чтобы применять такую схему на практике [1—5].

Представляет интерес рассмотреть более общий случай, когда фронт детонации не перпендикулярен границе раздела ВВ — нагружающее вещество, а наклонен под некоторым углом  $\varphi$  к нормали (рис. 1, б, в). Необходимо отметить, что в стационарном режиме скользящей детонации